

УДК 539.3, 539.8

МОДЕЛЬ НЕСТАЦИОНАРНЫХ УПРУГО-ДИФФУЗИОННЫХ КОЛЕБАНИЙ ШАРНИРНО ОПЕРТОЙ БАЛКИ ТИМОШЕНКО

© 2020 г. А. В. Вестяк^а, А. В. Земсков^{а,б,*}

^а *Московский авиационный институт (национальный исследовательский университет),
Москва, Россия*

^б *НИИ механики МГУ имени М.В. Ломоносова, Москва, Россия*
**e-mail: azemskov1975@mail.ru*

Поступила в редакцию 11.12.2019 г.

После доработки 12.02.2020 г.

Принята к публикации 03.03.2020 г.

Исследуются нестационарные колебания шарнирно опертой балки Тимошенко с учетом массопереноса, находящейся под действием распределенной поперечной нагрузки. Для постановки задачи используется модель балки Тимошенко, полученная с помощью принципа Даламбера из уравнений упругой диффузии для сплошной среды. Для решения полученной задачи применяется интегральное преобразование Лапласа по времени и разложение в ряды Фурье. Путем перехода к классической задаче о нестационарных колебаниях упругой балки проанализировано влияние массопереноса на поле перемещений внутри балки.

Ключевые слова: упругая диффузия, балка Тимошенко, нестационарные колебания, интегральные преобразования

DOI: 10.31857/S0572329920030174

Введение. Примерно с середины 20-го столетия значительное внимание в научной литературе уделяется процессам деформации упругих тел при взаимном влиянии полей различной физической природы, в том числе с учетом диффузии. Несмотря на большие математические трудности, связанные с решением соответствующих начально-краевых задач, существует множество научных работ, посвященных этой тематике. Применительно к задачам механодиффузии с возможным учетом температурных и электромагнитных факторов здесь можно отметить публикации [1–10], где рассматриваются связанные задачи в основном для канонических областей: пространства, полупространства или слоя.

При этом следует отметить, что реальные элементы конструкций имеют, как правило, конечные размеры и моделируются с помощью стержней, пластин или оболочек. Публикаций, посвященных изучению механодиффузионных процессов в телах с указанной геометрией крайне мало. В качестве наиболее известных на сегодняшний день можно указать работы [11–13], где рассматривается постановка контактной задачи термоупругой диффузии для слоистой оболочки и исследуется влияние диффузионных процессов на несущую способность пологой трансверсально-изотропной оболочки в случае статических нагрузок. В статьях [14, 15] рассматриваются квазистатические контактные задачи для стержня с упругим полупространством, а в [16, 17] обсуждаются вопросы, связанные с постановкой задачи механодиффузии для пластины. Вопросы, связанные с построением аналитических решений указанных задач в нестационарной постановке, на сегодняшний день не рассматриваются.

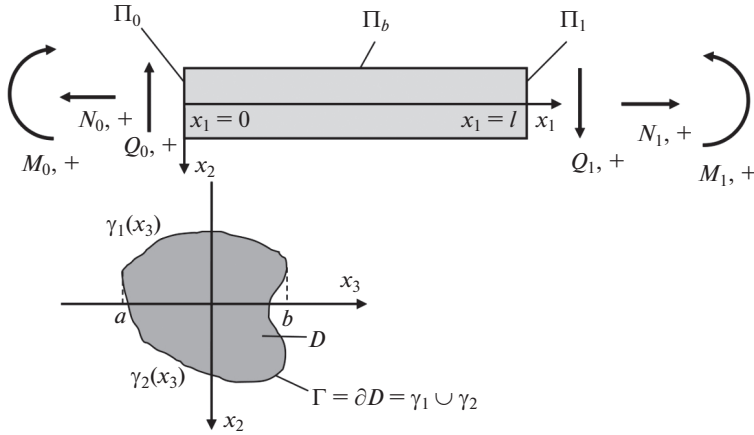


Рис. 1

В данной работе исследуются нестационарные механо-диффузионные колебания балки Тимошенко. Модель колебаний балки строится на основе вариационных принципов с использованием известных уравнений упругой диффузии для сплошных сред [1–10, 18–21]. Предлагается аналитический метод решения данной задачи, основанный на использовании интегрального преобразования Лапласа и разложений в ряды по собственным функциям упругодиффузионного оператора.

1. Постановка задачи. Рассматривается задача о нестационарных колебаниях балки Тимошенко с учетом явлений массопереноса. В общем случае балка находится под действием растягивающих усилий, изгибающих моментов и перерезывающих сил, заданных на ее концах. Схема приложенных усилий, ориентация координатных осей и геометрия балки изображены на рис 1.

Для постановки задачи используем упругодиффузионную модель сплошной среды, записанную в декартовой системе координат $((x_1, x_2, x_3) \in G \subset \mathfrak{R}^3, \partial G = \Pi_\sigma \cup \Pi_J)$

$$\begin{aligned} \ddot{u}_i &= \frac{\partial \sigma_{ij}}{\partial x_j} + F_i, \quad \left(1 + \tau_q \frac{\partial}{\partial \tau}\right) \left(\frac{\partial \eta^{(q)}}{\partial \tau} + \frac{\partial J_i^{(q)}}{\partial x_i} - Y^{(q)}\right) = 0 \quad (q = \overline{1, N}) \\ \sigma_{ij} \nu_j \Big|_{\Pi_\sigma} &= P_i, \quad \left(J_i^{(q)} + \tau_q \frac{\partial J_i^{(q)}}{\partial \tau}\right) \Big|_{\Pi_J} = I_i^{(q)}, \quad u_i \Big|_{\tau=0} = \frac{\partial u_i}{\partial \tau} \Big|_{\tau=0} = \eta^{(q)} \Big|_{\tau=0} = \frac{\partial \eta^{(q)}}{\partial \tau} \Big|_{\tau=0} = 0 \end{aligned} \quad (1.1)$$

где σ_{ij} и $J_i^{(q)}$ – компоненты тензора напряжений и вектора диффузионного потока, которые определяются следующим образом [18–21]:

$$\begin{aligned} \sigma_{ij} &= C_{ijkl} \frac{\partial u_k}{\partial x_l} - \sum_{q=1}^N \alpha_{ij}^{(q)} \eta^{(q)}, \\ J_i^{(q)} + \tau_q \frac{\partial J_i^{(q)}}{\partial \tau} &= - \sum_{l=1}^N D_{ij}^{(q)} g^{(q)} \frac{\partial \eta^{(l)}}{\partial x_j} + \Lambda_{ijkl}^{(q)} \frac{\partial^2 u_k}{\partial x_j \partial x_l} \quad (q = \overline{1, N}) \end{aligned} \quad (1.2)$$

Здесь все величины являются безразмерными и для них приняты следующие обозначения

$$\begin{aligned}
 x_i &= \frac{x_i^*}{l}, & u_i &= \frac{u_i^*}{l}, & \tau &= \frac{Ct}{l}, & C_{ijkl} &= \frac{C_{ijkl}^*}{C_{1111}^*}, & C^2 &= \frac{C_{1111}^*}{\rho}, & \alpha_{ij}^{(q)} &= \frac{\alpha_{ij}^{*(q)}}{C_{1111}^*} \\
 D_{ij}^{(q)} &= \frac{D_{ij}^{*(q)}}{Cl}, & \Lambda_{ijkl}^{(q)} &= \frac{m^{(q)} D_{ij}^{*(q)} \alpha_{kl}^{*(q)} n_0^{(q)}}{\rho R T_0 Cl}, & F_i &= \frac{\rho l F_i^*}{C_{1111}^*}, & Y^{(q)} &= \frac{l Y^{*(q)}}{C}, & \tau_q &= \frac{C \tau^{(q)}}{l}
 \end{aligned} \quad (1.3)$$

где t – время; x_i^* – прямоугольные декартовы координаты; u_i^* – компоненты вектора перемещений; l – длина балки; $\eta^{(q)} = n^{(q)} - n_0^{(q)}$ – приращение концентрации q -й компоненты вещества в составе N – компонентной среды; $n^{(q)}$ и $n_0^{(q)}$ – актуальная и начальная концентрации q -го вещества; C_{ijkl}^* – компоненты тензора упругих постоянных; ρ – плотность; $\alpha_{ij}^{*(q)}$ – коэффициенты, характеризующие объемное изменение среды за счет диффузии; $D_{ij}^{*(q)}$ – коэффициенты самодиффузии; R – универсальная газовая постоянная; T_0 – температура среды; $m^{(q)}$ – молярная масса q -го вещества, $P_i, I_i^{(q)}$ – поверхностные возмущения, $F_i^*, Y_i^{*(q)}$ – объемные возмущения; v_i – компоненты вектора нормали к поверхности балки; $\tau^{(q)}$ – время релаксации диффузионных потоков.

Уравнения упругодиффузионных колебаний балки получаем на основе вариационного принципа Даламбера. Используя начально-краевую задачу (1.1), имеем [18–20]

$$\begin{aligned}
 \int_G \left(\ddot{u}_i - \frac{\partial \sigma_{ij}}{\partial x_j} - F_i \right) \delta u_i dG + \sum_{q=1}^N \int_G \left(1 + \tau_q \frac{\partial}{\partial \tau} \right) \left(\frac{\partial \eta^{(q)}}{\partial \tau} + \frac{\partial J_i^{(q)}}{\partial x_i} - Y^{(q)} \right) \delta \eta^{(q)} dG + \\
 + \iint_{\Pi_q} (\sigma_{ij} v_j - P_i) \delta u_i dS + \sum_{q=1}^N \iint_{\Pi_q} (J_i^{(q)} - I_i^{(q)}) v_i \delta \eta^{(q)} dS = 0
 \end{aligned} \quad (1.4)$$

Здесь δu_i – виртуальные перемещения, $\delta \eta^{(q)}$ – виртуальные приращения концентраций.

Далее, для построения уравнений изгиба балки в плоскости Ox_1x_2 принимаем, что:

– материал является изотропным (λ и μ – коэффициенты Ламе, δ_{ij} – символ Кронекера)

$$C_{ijkl} = \lambda \delta_{ij} \delta_{kl} + \mu (\delta_{ik} \delta_{jl} + \delta_{il} \delta_{jk}), \quad \Lambda_{\alpha\alpha\beta\beta}^{(q)} = \Lambda_q, \quad \alpha_{\alpha\alpha}^{(q)} = \alpha_q, \quad D_{\alpha\alpha}^{(q)} = D_q \quad (1.5)$$

– прогибы балки малы и сечения, перпендикулярные к оси балки до деформации, остаются плоскими и после деформации (гипотеза плоских сечений). Тогда, линеаризуя искомые величины по переменной x_2 , получаем [18–21]

$$\begin{aligned}
 u_1(x_1, x_2, \tau) &= u(x_1, \tau) + x_2 \chi(x_1, \tau), & u_2(x_1, x_2, \tau) &= v(x_1, \tau) + x_2 \psi(x_1, \tau) \\
 \eta^{(q)}(x_1, x_2, \tau) &= N_q(x_1, \tau) + x_2 H_q(x_1, \tau)
 \end{aligned} \quad (1.6)$$

– деформации в поперечном направлении отсутствуют. Тогда $\psi(x_1, \tau) \equiv 0$ и соотношения (1.6) записываются так

$$\begin{aligned}
 u_1(x_1, x_2, \tau) &= u(x_1, \tau) - x_2 \chi(x_1, \tau), & u_2(x_1, x_2, \tau) &= v(x_1, \tau) \\
 \eta^{(q)}(x_1, x_2, \tau) &= N_q(x_1, \tau) + x_2 H_q(x_1, \tau)
 \end{aligned} \quad (1.7)$$

С учетом (1.5) и (1.7), компоненты тензора напряжений и вектора диффузионного потока (1.2) будут иметь вид [20] (здесь штрих обозначает производную по переменной x_1 , точка – производную по времени τ)

$$\begin{aligned}\sigma_{11} &= (u' - x_2\chi') - \sum_{q=1}^N \alpha_q (N_q + x_2 H_q), & \sigma_{22} &= \lambda(u' - x_2\chi') - \sum_{q=1}^N \alpha_q (N_q + x_2 H_q) \\ \sigma_{12} &= \mu(v' - \chi), & J_1^{(q)} + \tau_q j_1^{(q)} &= -D_q(N_q' + x_2 H_q') + \Lambda_q(u'' - x_2\chi'') \\ & & J_2^{(q)} + \tau_q j_2^{(q)} &= -D_q H_q - \Lambda_q \chi' \quad (q = 1 \div N)\end{aligned}\quad (1.8)$$

Подставляя (1.7) и (1.8) в (1.4) и используя необходимое условие стационарности функционалов, получаем модель нестационарного плоского изгиба упругодиффузионной балки Тимошенко, которая состоит из двух задач:

– задача об одноосном растяжении-сжатии стержня с учетом диффузии

$$\begin{aligned}\ddot{u}(x_1, \tau) - u''(x_1, \tau) + \sum_{q=1}^N \alpha_q N_q'(x_1, \tau) - n(x_1, \tau) &= 0 \\ \dot{N}_q(x_1, \tau) + \tau_q \dot{N}_q(x_1, \tau) - D_q N_q''(x_1, \tau) + \Lambda_q u'''(x_1, \tau) - y^{(q)}(x_1, \tau) &= 0 \\ \left[u'(x_1, \tau) - \sum_{q=1}^N \alpha_q N_q(x_1, \tau) \right]_{x_1=0} &= \frac{N_0(\tau)}{F}, & \left[u'(x_1, \tau) - \sum_{q=1}^N \alpha_q N_q(x_1, \tau) \right]_{x_1=1} &= \frac{N_1(\tau)}{F} \\ [\Lambda_q u''(x_1, \tau) - D_q N_q'(x_1, \tau)]_{x_1=0} &= \frac{\Gamma_0^{(q)}(\tau)}{F}, & [\Lambda_q u''(x_1, \tau) - D_q N_q'(x_1, \tau)]_{x_1=1} &= \frac{\Gamma_1^{(q)}(\tau)}{F}\end{aligned}$$

– задача относительно прогибов балки с учетом диффузии

$$\begin{aligned}\ddot{v}(x_1, \tau) - \mu[v''(x_1, \tau) - \chi'(x_1, \tau)] - \frac{q(x_1, \tau)}{F} &= 0 \\ \ddot{\chi}(x_1, \tau) - \chi''(x_1, \tau) - \eta\mu[v'(x_1, \tau) - \chi(x_1, \tau)] - \sum_{q=1}^N \alpha_q H_q'(x_1, \tau) - \frac{m(x_1, \tau)}{J_3} &= 0 \\ \dot{H}_q(x_1, \tau) + \tau_q \dot{H}_q(x_1, \tau) - D_q H_q''(x_1, \tau) - \Lambda_q \chi'''(x_1, \tau) - \frac{z^{(q)}(x_1, \tau)}{J_3} &= 0 \\ [v'(x_1, \tau) - \chi(x_1, \tau)]_{x_1=0} &= \frac{Q_0(\tau)}{\mu F}, & [v'(x_1, \tau) - \chi(x_1, \tau)]_{x_1=1} &= \frac{Q_1(\tau)}{\mu F} \\ \left[\chi'(x_1, \tau) + \sum_{q=1}^N \alpha_q H_q(x_1, \tau) \right]_{x_1=0} &= -\frac{M_0(\tau)}{J_3} \\ \left[\chi'(x_1, \tau) + \sum_{q=1}^N \alpha_q H_q(x_1, \tau) \right]_{x_1=1} &= -\frac{M_1(\tau)}{J_3} \\ [\Lambda_q \chi''(x_1, \tau) + D_q H_q'(x_1, \tau)]_{x_1=0} &= -\frac{\Omega_0^{(q)}(\tau)}{J_3} \\ [\Lambda_q \chi''(x_1, \tau) + D_q H_q'(x_1, \tau)]_{x_1=1} &= -\frac{\Omega_1^{(q)}(\tau)}{J_3}\end{aligned}\quad (1.10)$$

где F – площадь сечения, J_3 – момент инерции поперечного сечения балки относительно оси Ox_3 , $\eta = F/J_3$, n – распределенная погонная продольная нагрузка, m – рас-

пределенный погонный момент, q – распределенная погонная поперечная нагрузка, остальные силовые факторы определяются следующим образом

$$\begin{aligned} \left\{ \begin{matrix} y^{(q)}(x_1, \tau) \\ z^{(q)}(x_1, \tau) \end{matrix} \right\} &= \iint_D \left\{ \begin{matrix} Y^{(q)} + \tau_q \dot{Y}^{(q)} \\ Y^{(q)} + \tau_q \dot{Y}^{(q)} \end{matrix} \right\} x_2 dx_2 dx_3, & \left\{ \begin{matrix} N_0(\tau) \\ N_1(\tau) \end{matrix} \right\} &= \iint_D \left\{ \begin{matrix} P_1(0, x_2, x_3, \tau) \\ P_1(1, x_2, x_3, \tau) \end{matrix} \right\} dx_2 dx_3 \\ \left\{ \begin{matrix} M_0(\tau) \\ M_1(\tau) \end{matrix} \right\} &= \iint_D \left\{ \begin{matrix} P_1(0, x_2, x_3, \tau) \\ P_1(1, x_2, x_3, \tau) \end{matrix} \right\} x_2 dx_2 dx_3, & \left\{ \begin{matrix} Q_0(\tau) \\ Q_1(\tau) \end{matrix} \right\} &= \iint_D \left\{ \begin{matrix} P_2(0, x_2, x_3, \tau) \\ P_2(1, x_2, x_3, \tau) \end{matrix} \right\} dx_2 dx_3 \\ \left\{ \begin{matrix} \Gamma_0^{(q)}(\tau) \\ \Gamma_1^{(q)}(\tau) \end{matrix} \right\} &= \iint_D \left\{ \begin{matrix} I_1^{(q)}(0, x_2, x_3, \tau) \\ I_1^{(q)}(1, x_2, x_3, \tau) \end{matrix} \right\} dx_2 dx_3, & \left\{ \begin{matrix} \Omega_0^{(q)}(\tau) \\ \Omega_1^{(q)}(\tau) \end{matrix} \right\} &= \iint_D \left\{ \begin{matrix} I_1^{(q)}(0, x_2, x_3, \tau) \\ I_1^{(q)}(1, x_2, x_3, \tau) \end{matrix} \right\} x_2 dx_2 dx_3 \end{aligned}$$

В более точных моделях (для этого надо учесть слагаемые более высокого порядка малости в (1.6)) уравнения (1.9) записываются так

$$\begin{aligned} \ddot{v}(x_1, \tau) - \mu k^2 [v''(x_1, \tau) - \chi'(x_1, \tau)] - \frac{q(x_1, \tau)}{F} &= 0 \\ \dot{\chi}(x_1, \tau) - \chi''(x_1, \tau) - \eta \mu k^2 [v'(x_1, \tau) - \chi(x_1, \tau)] - \sum_{q=1}^N \alpha_q H_q'(x_1, \tau) - \frac{m(x_1, \tau)}{J_3} &= 0 \quad (1.11) \\ \dot{H}_q(x_1, \tau) + \tau_q \ddot{H}_q(x_1, \tau) - D_q H_q''(x_1, \tau) - \Lambda_q \chi'''(x_1, \tau) - \frac{z^{(q)}(x_1, \tau)}{J_3} &= 0 \end{aligned}$$

где k – коэффициент, учитывающий неравномерность распределения касательных напряжений по сечению балки.

Если касательные напряжения распределены по формуле Журавского, то для балки прямоугольного сечения высотой h и единичной толщины $k^2 = 5/6$ [22, 23].

Будем далее рассматривать задачу об изгибе шарнирно опертой балки под действием нестационарной распределенной поперечной нагрузки. Математическая постановка задачи включает в себя уравнения (1.11) и граничные условия (1.10), в которых полагаем

$$M_0(\tau) = M_1(\tau) = 0$$

Для получения замкнутой постановки задачи используем дополнительно следующие кинематические граничные условия

$$v(x_1, \tau)|_{x_1=0} = 0, \quad v(x_1, \tau)|_{x_1=1} = 0, \quad H_q(x_1, \tau)|_{x_1=0} = 0, \quad H_q(x_1, \tau)|_{x_1=1} = 0 \quad (1.12)$$

Начальные условия полагаем нулевыми.

2. Метод решения. Решение задачи (1.11), (1.10), (1.12) представим в виде ($k = 1 \div N + 1$) [20]:

$$\begin{aligned} v(x, \tau) &= \sum_{k=1}^{N+2} \int_0^{\tau} \int_0^1 G_{1k}(x, \xi, \tau - t) F_k(\xi, t) d\xi dt, \\ \chi(x, \tau) &= \sum_{k=1}^{N+2} \int_0^{\tau} \int_0^1 G_{2k}(x, \xi, \tau - t) F_k(\xi, t) d\xi dt \quad (2.1) \\ H_q(x, \tau) &= \sum_{k=1}^{N+2} \int_0^{\tau} \int_0^1 G_{q+2,k}(x, \xi, \tau - t) F_k(\xi, t) d\xi dt \end{aligned}$$

Здесь $x = x_1$, $F_k(x, \tau)$ – объемные силовые факторы, входящие в уравнения (1.11), G_{mk} – объемные функции Грина, удовлетворяющие уравнениям [20]

$$\begin{aligned} \ddot{G}_{1k}(x, \xi, \tau) - \mu k^2 [G_{1k}''(x, \xi, \tau) - G_{2k}'(x, \xi, \tau)] - \delta_{1k} \delta(x - \xi) \delta(\tau) = 0 \\ \ddot{G}_{2k}(x, \xi, \tau) - G_{2k}''(x, \xi, \tau) - \eta \mu k^2 [G_{1k}'(x, \xi, \tau) - G_{2k}(x, \xi, \tau)] + \\ - \sum_{q=1}^N \alpha_q G_{q+2,k}'(x, \xi, \tau) - \delta_{2k} \delta(x - \xi) \delta(\tau) = 0 \quad (2.2) \\ \dot{G}_{q+2,k}(x, \xi, \tau) + \tau_q \ddot{G}_{q+2,k}(x, \xi, \tau) - D_q G_{q+2,k}''(x, \xi, \tau) - \Lambda_q G_{2k}'''(x, \xi, \tau) - \\ - \delta_{q+2,k} \delta(x - \xi) \delta(\tau) = 0 \end{aligned}$$

и следующим однородным граничным условиям

$$\begin{aligned} G_{1k}(x, \xi, \tau)|_{x=0} = 0, \quad G_{1k}(x, \xi, \tau)|_{x=1} = 0, \quad G_{q+1,k}(x, \xi, \tau)|_{x=0} = 0, \quad G_{q+1,k}(x, \xi, \tau)|_{x=1} = 0 \\ \left[G_{2k}'(x, \xi, \tau) + \sum_{j=1}^N \alpha_j G_{j+1,k}(x, \xi, \tau) \right]_{x=0} = 0, \quad \left[G_{2k}'(x, \xi, \tau) + \sum_{j=1}^N \alpha_j G_{j+1,k}(x, \xi, \tau) \right]_{x=1} = 0 \quad (2.3) \end{aligned}$$

Для нахождения объемных функций Грина вначале применяем преобразование Лапласа к задаче (2.2), (2.3) (верхний индекс “L” обозначает трансформанту Лапласа, s – параметр преобразования Лапласа)

$$\begin{aligned} s^2 G_{1k}^L(x, \xi, s) - \mu k^2 [G_{1k}^{L'}(x, \xi, s) - G_{1k}^L(x, \xi, s)] - \delta_{1k} \delta(x - \xi) = 0 \\ s^2 G_{2k}^L(x, \xi, s) - G_{2k}^{L''}(x, \xi, s) - \mu \eta k^2 [G_{1k}^L(x, \xi, s) - G_{2k}^L(x, \xi, s)] + \\ - \sum_{q=1}^N \alpha_q G_{q+2,k}^L(x, \xi, s) - \delta_{2k} \delta(x - \xi) = 0 \\ (s + \tau_q s^2) G_{q+2,k}^L(x, \xi, s) - D_q G_{q+2,k}^{L''}(x, \xi, s) - \Lambda_q G_{2k}^{L'''}(x, \xi, s) - \delta_{q+2,k} \delta(x - \xi) = 0 \\ G_{1k}^L(x, \xi, s)|_{x=0} = 0, \quad G_{1k}^L(x, \xi, s)|_{x=1} = 0, \quad G_{q+2,k}^L(x, \xi, s)|_{x=0} = 0, \quad G_{q+2,k}^L(x, \xi, s)|_{x=1} = 0 \\ \left[G_{2k}^{L'}(x, \xi, s) + \sum_{j=1}^N \alpha_j G_{j+2,k}^L(x, \xi, s) \right]_{x=0} = 0, \quad \left[G_{2k}^{L'}(x, \xi, s) + \sum_{j=1}^N \alpha_j G_{j+2,k}^L(x, \xi, s) \right]_{x=1} = 0 \end{aligned}$$

Затем трансформанты функций Грина $G_{mk}^L(x, \xi, s)$ представляем в виде рядов Фурье:

$$\begin{aligned} \left\{ \begin{array}{l} G_{1k}^L(x, \xi, s) \\ G_{q+2,k}^L(x, \xi, s) \end{array} \right\} = \sum_{n=1}^{\infty} \left\{ \begin{array}{l} G_{1k}^{Ls}(\lambda_n, \xi, s) \\ G_{q+2,k}^{Ls}(\lambda_n, \xi, s) \end{array} \right\} \sin \lambda_n x, \quad \lambda_n = \pi n \\ G_{2k}^L(x, \xi, s) = \frac{G_{2k}^{Lc}(0, \xi, s)}{2} + \sum_{n=1}^{\infty} G_{2k}^{Lc}(\lambda_n, \xi, s) \cos \lambda_n x \end{aligned}$$

В результате получаем систему линейных алгебраических уравнений для определения функций G_{1k}^{Ls} , $G_{q+1,k}^{Ls}$ и G_{2k}^{Lc} ($k = 1 \div N + 2$, $q = 1 \div N$):

$$\begin{aligned} k_1(\lambda_n, s) G_{1k}^{Ls}(\lambda_n, s) - \mu \lambda_n k^2 G_{2k}^{Lc}(\lambda_n, s) = 2\delta_{1k} \sin \lambda_n \xi \\ - \mu \eta k^2 \lambda_n G_{1k}^{Ls}(\lambda_n, s) + k_2(\lambda_n, s) G_{2k}^{Lc}(\lambda_n, s) - \lambda_n \sum_{q=1}^N \alpha_q G_{q+2,k}^{Ls}(\lambda_n, s) = 2\delta_{2k} \cos \lambda_n \xi \quad (2.4) \\ - \Lambda_q \lambda_n^3 G_{2k}^{Lc}(\lambda_n, s) + k_{q+2}(\lambda_n, s) G_{q+2,k}^{Ls}(\lambda_n, s) = 2\delta_{q+2,k} \sin \lambda_n \xi \end{aligned}$$

где

$$k_1(\lambda_n, s) = s^2 + \mu k^2 \lambda_n^2, \quad k_2(\lambda_n, s) = s^2 + \lambda_n^2 + \mu \eta k^2, \quad k_{q+2}(\lambda_n, s) = s + \tau_q s^2 + D_q \lambda_n^2 \quad (2.5)$$

Решение системы (2.4) имеет вид [20] ($i = 1, 2, k, l = 1 \div N + 2, l \neq 2, p, q = 1 \div N$)

$$\left\{ \begin{array}{l} G_{il}^{Ls}(\lambda_n, \xi, s) \\ G_{q+2,1}^{Ls}(\lambda_n, \xi, s) \end{array} \right\} = \left\{ \begin{array}{l} P_{il}(\lambda_n, s) \\ P_{q+2,1}(\lambda_n, s) \end{array} \right\} \frac{2 \sin \lambda_n \xi}{P(\lambda_n, s)}, \quad G_{k2}^{Ls}(\lambda_n, \xi, s) = \frac{2 P_{k2}(\lambda_n, s) \cos \lambda_n \xi}{P(\lambda_n, s)} \quad (2.6)$$

$$G_{q+2,p+2}^{Ls}(\lambda_n, s) = 2 \left[\frac{\delta_{pq}}{k_{q+2}} + \frac{P_{q+2,p+2}(\lambda_n, s)}{Q_q(\lambda_n, s)} \right] \sin \lambda_n \xi, \quad G_{2k}^{Lc}(0, \xi, s) = \frac{2 \delta_{2k}}{s^2}$$

где

$$P(\lambda_n, s) = [k_1(\lambda_n, s) k_2(\lambda_n, s) - \mu^2 \eta k^4 \lambda_n^2] \Pi(\lambda_n, s) - \lambda_n^4 k_1(\lambda_n, s) \sum_{j=1}^N \alpha_j \Lambda_j \Pi_j(\lambda_n, s)$$

$$Q_q(\lambda_n, s) = k_{q+2}(\lambda_n, s) P(\lambda_n, s)$$

$$P_{11}(\lambda_n, s) = k_2(\lambda_n, s) \Pi(\lambda_n, s) - \lambda_n^4 \sum_{j=1}^N \alpha_j \Lambda_j \Pi_j(\lambda_n, s)$$

$$P_{12}(\lambda_n, s) = \mu k^2 \lambda_n \Pi(\lambda_n, s), \quad P_{1,q+2}(\lambda_n, s) = \mu k^2 \lambda_n^2 \alpha_q \Pi_q(\lambda_n, s)$$

$$P_{21}(\lambda_n, s) = \mu \eta k^2 \lambda_n \Pi(\lambda_n, s)$$

$$P_{22}(\lambda_n, s) = k_1(\lambda_n, s) \Pi(\lambda_n, s), \quad P_{2,q+2}(\lambda_n, s) = \alpha_q \lambda_n k_1(\lambda_n, s) \Pi_q(\lambda_n, s)$$

$$P_{q+2,i}(\lambda_n, s) = \frac{\Lambda_q \lambda_n^3 P_{2i}(\lambda_n, s)}{k_{q+2}}, \quad P_{q+2,p+2}(\lambda_n, s) = \Lambda_q \lambda_n^3 P_{2,p+2}(\lambda_n, s) \quad (i = 1, 2)$$

$$\Pi(\lambda_n, s) = \prod_{j=1}^N k_{j+1}(\lambda_n, s), \quad \Pi_j(\lambda_n, s) = \prod_{r=1, r \neq j}^N k_{r+1}(\lambda_n, s)$$

Оригиналы функций Грина в (2.6) определяются следующим образом [20]

$$\left\{ \begin{array}{l} G_{il}^s(\lambda_n, \xi, \tau) \\ G_{q+2,1}^s(\lambda_n, \xi, \tau) \end{array} \right\} = 2 \sum_{j=1}^{2N+4} \left\{ \begin{array}{l} A_{il}^{(j)}(\lambda_n) \\ A_{q+2,1}^{(j)}(\lambda_n) \end{array} \right\} e^{s_j(\lambda_n) \tau} \sin \lambda_n \xi \quad (i = 1, 2, l = 1 \div N + 2, l \neq 2)$$

$$G_{k2}^s(\lambda_n, \tau) = 2 \sum_{j=1}^{2N+4} A_{k2}^{(j)}(\lambda_n) e^{s_j(\lambda_n) \tau} \cos \lambda_n \xi, \quad G_{2k}^c(0, \xi, s) = 2 \delta_{2k} \tau \quad (k = 1 \div N + 2) \quad (2.8)$$

$$G_{q+2,p+2}^s(\lambda_n, \tau) = 2 \left[\delta_{pq} \sum_{i=1}^2 \frac{e^{s_{2N+4+i}(\lambda_n) \tau}}{1 + 2 \tau_q s_{2N+4+i}(\lambda_n)} + \sum_{j=1}^{2N+6} A_{q+2,p+2}^{(j)}(\lambda_n) e^{s_j(\lambda_n) \tau} \right] \sin \lambda_n \xi$$

$$A_{q+2,i}^{(j)}(\lambda_n) = \frac{P_{q+2,i}(\lambda_n, s_j)}{P'(\lambda_n, s_j)}, \quad A_{q+2,p+2}^{(j)}(\lambda_n) = \frac{P_{q+2,p+2}(\lambda_n, s_j)}{Q'_q(\lambda_n, s_j)}, \quad A_{ik}^{(j)}(\lambda_n) = \frac{P_{ik}(\lambda_n, s_j)}{P'(\lambda_n, s_j)} \quad (2.9)$$

Здесь $s_j(\lambda_n)$ ($j = 1 \div 2N + 4$) – нули полинома $P(\lambda_n, s)$, остальные $s_j(\lambda_n)$ являются дополнительными нулями многочлена $Q_q(\lambda_n, s)$

$$s_{2N+5}(\lambda_n) = \frac{-1 - \sqrt{1 - 4 \tau_q D_1^{(q)} \lambda_n^2}}{2 \tau_q}, \quad s_{2N+6}(\lambda_n) = \frac{-1 + \sqrt{1 - 4 \tau_q D_1^{(q)} \lambda_n^2}}{2 \tau_q}$$

Подставляя найденные выражения для функций Грина (2.8) и (2.9) в свертки (2.1) получаем решение задачи об изгибе балки Тимошенко (1.11), (1.10), (1.12).

3. Расчетный пример. Для расчетного примера возьмем дюралюминиевый стержень длины $l = 10^{-1}$ м, прямоугольного сечения $h \times b = 0.1l \times 0.05l$. Дюралюминий рассматриваем как двухкомпонентный материал, ($N = 2$) физические характеристики которого [24] после применения процедуры обезразмеривания (1.3) следующие:

$$\begin{aligned} \lambda &= 4.92 \times 10^{-1}, & \mu &= 2.54 \times 10^{-1}, & \alpha_1 &= 1.50 \times 10^{-4}, & \alpha_2 &= 5.92 \times 10^{-4} \\ D_1 &= 1.27 \times 10^{-16}, & D_2 &= 5.02 \times 10^{-21}, & \Lambda_1 &= 2.77 \times 10^{-18}, & \Lambda_2 &= 5.50 \times 10^{-23} \end{aligned} \quad (3.1)$$

Обезразмеренные геометрические характеристики сечения равны:

$$F = 5.00 \times 10^{-3}, \quad J_3 = 4.16 \times 10^{-6}$$

В уравнениях (1.11) полагаем

$$F_1(x, \tau) = \frac{q(x, \tau)}{F} = H(x)H(\tau), \quad F_2(x, \tau) = \frac{m(x, \tau)}{J_3} = 0, \quad F_{q+2}(x, \tau) = \frac{z^{(q)}}{J_3} = 0 \quad (3.2)$$

Вычисляя свертки (2.1) с учетом равенств (2.8), получаем

$$\begin{aligned} v(x, \tau) &= \int_0^{\tau} \int_0^1 G_{11}(x, \xi, \tau - t) F_1(\xi, t) d\xi dt = \\ &= 2 \sum_{n=1}^{\infty} \sum_{j=1}^{2N+4} [1 - (-1)^n] \frac{(e^{s_j(\lambda_n)\tau} - 1) A_{11}^{(j)}(\lambda_n)}{\lambda_n s_j(\lambda_n)} \sin \lambda_n x \\ \chi(x, \tau) &= \int_0^{\tau} \int_0^1 G_{21}(x, \xi, \tau - t) F_1(\xi, t) d\xi dt = \\ &= 2 \sum_{n=1}^{\infty} \sum_{j=1}^{2N+4} [1 - (-1)^n] \frac{(e^{s_j(\lambda_n)\tau} - 1) A_{21}^{(j)}(\lambda_n)}{\lambda_n s_j(\lambda_n)} \cos \lambda_n x \\ H_q(x, \tau) &= \int_0^{\tau} \int_0^1 G_{q+2,1}(x, \xi, \tau - t) F_1(\xi, t) d\xi dt = \\ &= 2 \sum_{n=1}^{\infty} \sum_{j=1}^{2N+4} [1 - (-1)^n] \frac{(e^{s_j(\lambda_n)\tau} - 1) A_{q+2,1}^{(j)}(\lambda_n)}{\lambda_n s_j(\lambda_n)} \sin \lambda_n x \end{aligned} \quad (3.3)$$

Полагая коэффициенты α_q , связывающие механическое и диффузионные поля, равными нулю, приходим к решению классической упругой задачи для балки Тимошенко. В этом случае равенства (2.7) с учетом (2.5) запишутся так

$$\begin{aligned} P(\lambda_n, s) &= s^4 + (\lambda_n^2 + \mu k^2 \lambda_n^2 + \mu \eta k^2) s^2 + \mu k^2 \lambda_n^4, & P_{11}(\lambda_n, s) &= s^2 + \lambda_n^2 + \mu \eta k^2 \\ P_{12}(\lambda_n, s) &= \mu k^2 \lambda_n, & P_{21}(\lambda_n, s) &= \mu \eta k^2 \lambda_n, & P_{22}(\lambda_n, s) &= s^2 + \mu k^2 \lambda_n^2 \end{aligned}$$

Многочлен $P(\lambda_n, s)$ является биквадратным относительно параметра s и его нули определяются по формулам

$$s_j(\lambda_n) = \frac{-\lambda_n^2 + \mu k^2 \lambda_n^2 + \mu \eta k^2 \pm \sqrt{(\lambda_n^2 + \mu k^2 \lambda_n^2 + \mu \eta k^2)^2 - 4\mu k^2 \lambda_n^4}}{2}$$

Тогда, в соответствии с (2.9) для коэффициентов $A_{ik}^{(j)}(\lambda_n)$ получаем

$$A_{ik}^{(j)}(\lambda_n) = \frac{P_{ik}(\lambda_n, s)}{2s(2s^2 + \lambda_n^2 + \mu \eta k^2 + \mu k^2 \lambda_n^2)} \Big|_{s=s_j} \quad (j = \overline{1, 4}) \quad (3.4)$$

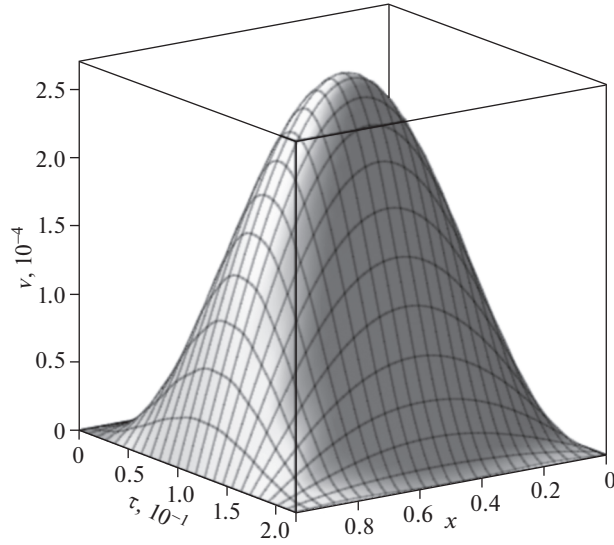


Рис. 2

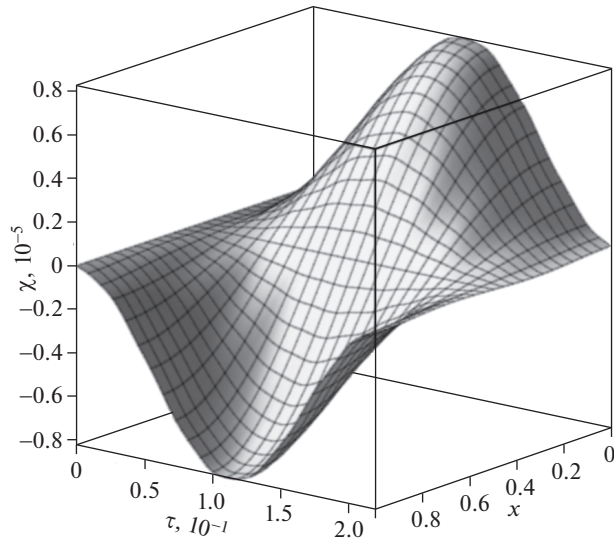


Рис. 3

Прогибы v и повороты сечений χ по-прежнему определяются с помощью формул (3.3) с учетом поправочных равенств (3.4), при $N = 0$.

Результаты вычислений продемонстрированы на рисунках 2–7. На рис. 2 изображено пространственно-временное распределение прогибов балки под действием распределенной поперечной нагрузки (3.2). На следующих рисунках показаны зависимости от времени и продольной координаты поворотов сечений (рис. 3) и приращений

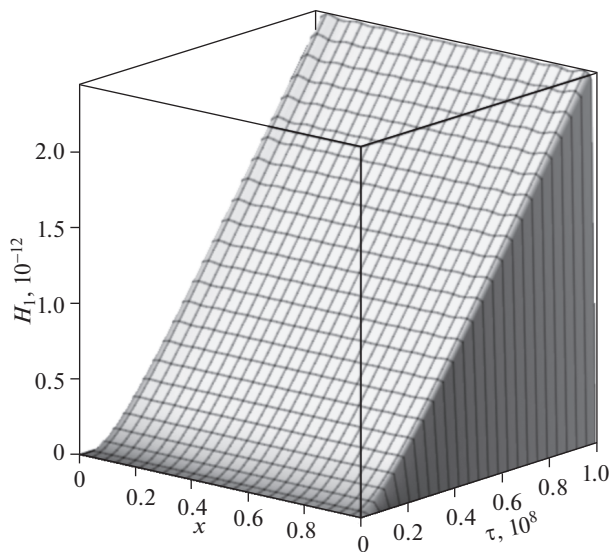


Рис. 4

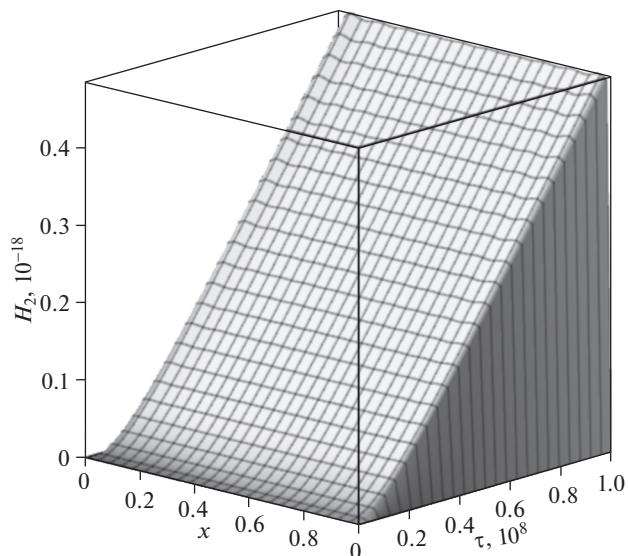


Рис. 5

концентраций первого компонента (рис. 4) и второго (рис. 5) в составе двухкомпонентной среды (3.1).

На рисунках 6 и 7 проиллюстрировано сравнение решений упругодиффузионной задачи (3.3) с решением чисто упругой задачи при $x = 0.1$. Сплошная линия на обоих рисунках соответствует решению (3.3), пунктирная – решению упругой задачи.

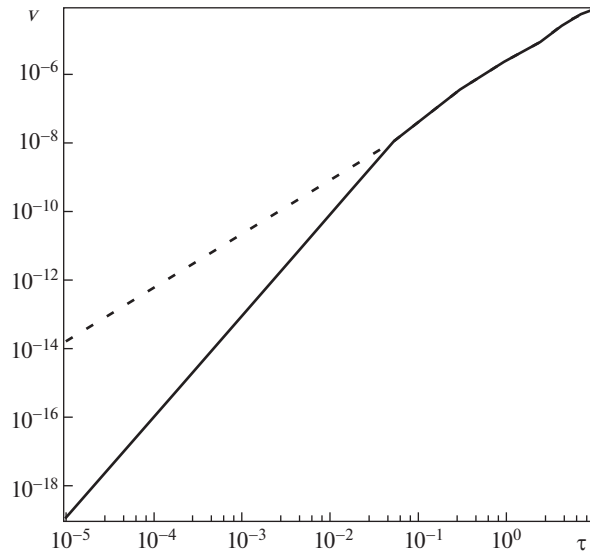


Рис. 6

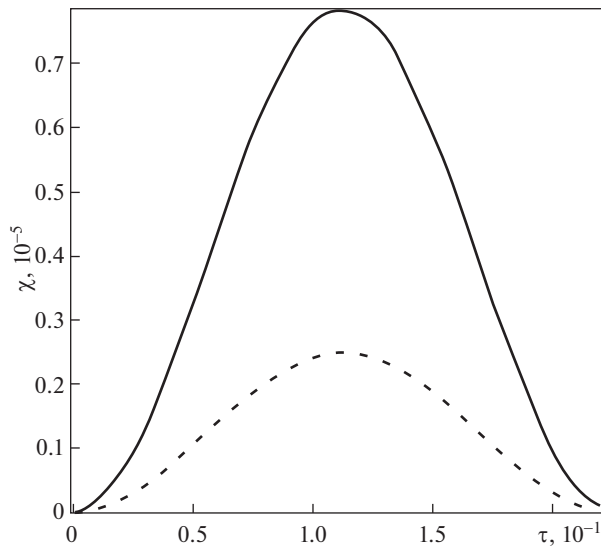


Рис. 7

На рис. 6 видно, что в рамках построенной модели упругодиффузионных колебаний балки Тимошенко массоперенос влияет на прогибы только в самые начальные моменты времени $\tau \sim 10^{-1}$. В противоположность этому, диффузионные процессы существенно влияют на повороты сечений. Продемонстрированное на рис. 7 отличие сохраняется для сколь угодно больших временных промежутков.

Заключение. Таким образом, в работе получена связанная нестационарная упруго-диффузионная модель балки Тимошенко. Предложен алгоритм построения объемных функций Грина и решена задача о нестационарных упругодиффузионных колебаниях балки под действием распределенной поперечной нагрузки. На основе разработанной модели и рассмотренного примера исследовано взаимодействие механического и диффузионного полей. Сравнительный анализ показывает влияние массопереноса на поле перемещений внутри балки в сторону увеличения углов поворотов поперечных сечений при изгибе.

Работа выполнена при финансовой поддержке Российского научного фонда (проект 20-19-00217).

СПИСОК ЛИТЕРАТУРЫ

1. *Afram A.Y., Khader S.E.* 2D Problem for a Half-Space under the Theory of Fractional Thermoelastic Diffusion // American journal of scientific and industrial research, 2014. V. 6. № 3. P. 47–57.
2. *Aouadi M.A.* generalized thermoelastic diffusion problem for an infinitely long solid cylinder // Intern. J. Mathem. and Mathem. Sci. 2006. V. 2006. P. 1–15.
3. *Awa S.Y., Egypt Z.* Generalized Thermoelastic Diffusion With Effect of Fractional Parameter on Plane Waves Temperature-Dependent Elastic Medium // Journal of Materials and Chemical Engineering. 2013. V. 1. Is. 2. P. 55–74.
4. *Belova I.V., Murch G.E.* Thermal and diffusion-induced stresses in crystalline solids // Journal of Applied Physics. 1995. V. 77. № 1. P. 127–134.
5. *Deswal S., Kalkal K.* A two-dimensional generalized electro-magneto-thermoviscoelastic problem for a half-space with diffusion // International Journal of Thermal Sciences. 2011. V. 50. № 5. P. 749–759.
6. *Elhagary M.A.* Generalized thermoelastic diffusion problem for an infinitely long hollow cylinder for short times // Acta Mech. 2011. V. 218. P. 205–215.
7. *Indeitsev D.A., Semenov B.N., Sterlin M.D.* The Phenomenon of Localization of Diffusion Process in a Dynamically Deformed Solid // Doklady Physics. 2012. V. 57. № 4. P. 171–173.
8. *Knyazeva A.G.* Model of medium with diffusion and internal surfaces and some applied problems // Mater. Phys. Mech. 2004. V. 7. № 1. P. 29–36.
9. *Kumar R., Chawla V.* A Study of Fundamental Solution in Orthotropic Thermodiffusive Elastic Media // International Communication in Heat and Mass Transfer. 2011. V. 38. P. 456–462.
10. *Sherief H.H., El-Maghraby N.M.* A Thick Plate Problem in the Theory of Generalized Thermoelastic Diffusion // Int. J. Thermophys. 2009. V. 30. P. 2044–2057.
11. *Раврик М.С.* Об одной вариационной формуле смешанного типа для контактных задач термомодифузционной теории деформации слоистых оболочек // Мат. мет. та фіз.-мех. поля. 1985. Т. 22. С. 40–44.
12. *Раврик М.С., Бичуя А.Л.* Осесимметричное напряженное состояние нагретой трансверсально-изотропной сферической оболочки с круговым отверстием при диффузионном насыщении // Мат. методи і фіз.-мех. поля. 1983. Вып. 17. С. 51–54.
13. *Швец Р.Н., Флячок В.М.* Вариационный подход к решению динамических задач механотермомодифузии анизотропных оболочек // Мат. физ. и нелинейн. мех. 1991. № 16. С. 39–43. *Shvets R.N., Flyachok V.M.* The equations of mechanothermodiffusion of anisotropic shells taking account of transverse strains // Mat. Met. Fiz.-Mekh. Polya. 1984. № 20. P. 54–61.
14. *Aouadi M., Copetti M.I.M.* Analytical and numerical results for a dynamic contact problem with two stops in thermoelastic diffusion theory // ZAMM Z. Angew. Math. Mech. 2015. P. 1–24.
15. *Copetti M.I.M., Aouadi M.* A quasi-static contact problem in thermoviscoelastic diffusion theory // Applied Numerical Mathematics. 2016. V. 109. P. 157–183
16. *Aouadi M.* On thermoelastic diffusion thin plate theory // Appl. Math. Mech.-Engl. Ed. 2015. V. 36. № 5. P. 619–632.
17. *Aouadi M., Miranville A.* Smooth attractor for a nonlinear thermoelastic diffusion thin plate based on Gurtin–Pipkin’s model // Asymptotic Analysis. 2015. V. 95. P. 129–160

18. *Zemskov A.V., Tarlakovskii D.V.* Unsteady Vibration Model of the Euler-Bernoulli Beam Taking into Account Diffusion // *Journal of Physics: Conference Series*. 2019. V. 1158. 042043.
19. *Tarlakovskii D.V., Zemskov A.V.* An Elastodiffusive Orthotropic Euler-Bernoulli Beam with Considering Diffusion Flux Relaxation // *Math. Comput. Appl.* 2019. V. 24. Is. 1. 23.
20. *Gafurov U.S., Afanasieva O.A., Zemskov A.V.* Unsteady elastic diffusion oscillations of a Timoshenko beam with considering the diffusion relaxation effects // *Proceedings of the second International Conference on Theoretical, Applied and Experimental Mechanics*. Springer Nature Switzerland AG. 2019. P. 193–199.
21. *Davydov S.A., Zemskov A.V.* Unsteady One-dimensional Perturbations in Multicomponent Thermoelastic Layer with Cross-diffusion Effect. *Journal of Physics: Conference Series*. 2018. V. 1129. 012009.
22. *Михайлова Е.Ю., Тарлаковский Д.В., Федотенков Г.В.* Общая теория упругих оболочек. М.: МАИ, 2018. 112 с.
23. *Горшков А.Г., Медведский А.Л., Рабинский Л.Н., Тарлаковский Д.В.* Волны в сплошных средах. М.: Физматлит, 2004. 472 с.
24. *Физические величины: Справочник / Бабичев А.П., Бабушкина Н.А., Братковский А.М. и др. Под общей редакцией Григорьева И.С., Мелихова И.З.* М.: Энергоатомиздат, 1991. 1232 с.